

بررسی خصوصیات ناحیه منشأ سنگ‌های آلکالن بازیک قاعده سازند شمشک در البرز شرقی

حبيب ا. فاسمی^{(۱)*} و خدیجه جمشیدی^(۲)

۱. دانشیار دانشکده علوم زمین، دانشگاه شهرورد، شهرورد

۲. دانشجوی دکتری پترولوری، دانشکده علوم زمین، دانشگاه شهرورد، شهرورد

تاریخ دریافت: ۹۰/۷/۲۵

تاریخ پذیرش: ۹۲/۴/۲

چکیده

سنگ‌های آلکالن بازیک قاعده سازند شمشک، عمدهاً به شکل نفوذی و گاهی خروجی، در محدوده استان سمنان و به صورت پراکنده در بخش‌های مختلف زون البرز شرقی حضور دارند. ترکیب سنگ‌شناسی آن‌ها در نمونه‌های نفوذی، از الیوین‌گابریو تا مونزونیت و در نمونه‌های خروجی، الیوین‌بازالت است. جایگاه درون ورقه قاره‌ای تشکیل این سنگ‌ها در نمودارهای تکتونوماگمایی مختلف به تأیید رسیده است. همچنین بررسی‌های رئوشیمیایی و پتروژنتیکی، از نشأت‌گیری ماگمای والد این سنگ‌ها از ذوب بخشی ۱۰ تا ۱۵ درصدی یک منبع گوشته‌ای غنی‌شده زیر لیتوسفر قاره‌ای با ترکیب گارنت‌لرزولیت حکایت دارند. ماگمای آلکالن مذکور در فشارهای بیش از ۲۵-۳۰ کیلوبار و از اعماق ۹۰-۱۰۰ کیلومتری منشأ گرفته و در حین صعود و جایگزینی، توسط سنگ‌های پوسته قاره‌ای، متحمل آلایش پوسته‌ای اندکی شده است.

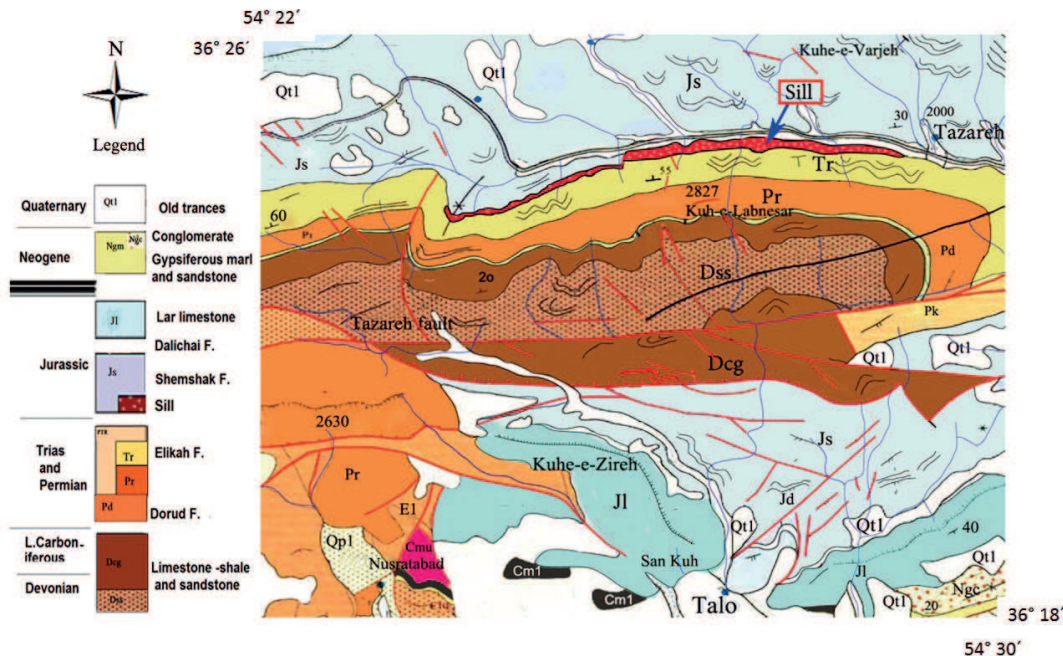
واژه‌های کلیدی: سنگ‌های آلکالن بازیک، شمشک، البرز شرقی.

مقدمه

تا مونزونیت در داخل بخش قاعده‌ای سازند شمشک رخنمون دارند. سنگ‌های مورد بحث در مناطق چشمه‌علی و تویه‌دروار (در شمال و شمال‌غرب شهرستان دامغان) و شهمیرزاد (در شمال سمنان) به صورت گدازه الیوین‌بازالتی در مرز بین سازندهای الیکا و شمشک حضور دارند. شکل‌های (۱) و (۲) بخش‌هایی از نقشه زمین‌شناسی ۱/۱۰۰۰۰۰ دامغان (علوی و صالحی راد، ۱۹۷۵) را به تصویر کشیده‌اند که بیان‌گر رخنمون سنگ‌های آذرین مورد بحث، به ترتیب به شکل سیل درون بخش قاعده‌ای سازند شمشک در منطقه طزره و به شکل استوک‌های کوچک در بخش زیرین سازند شمشک در منطقه کلاته روبار است. حضور فراوان آپاتیت، اسفن و فلوگوپیت در سنگ‌های آذرین مورد مطالعه، نشان‌دهنده بالا بودن مقادیر P و Ti و طبیعت آلکالن ماگمای سازنده‌ی این سنگ‌هاست (جمشیدی، ۱۳۸۹؛ فاسمی و جمشیدی، ۱۳۹۰). مطالعات رئوشیمیایی صورت گرفته توسط فاسمی و جمشیدی (۱۳۹۰) بیان‌گر منشأ واحد برای سنگ‌های

در بخش‌های مختلفی از زون البرز، در قاعده سازند شمشک، سنگ‌های آلکالن به شکل گدازه بازالتی گزارش شده‌اند (Fu-ron, 1964; Delenbach, 1964; Glaus, 1964; Allenbach, 1966 و آقاباتی، ۱۳۸۲). مقدسی (Annells et al., 1975) برای اولین بار به مطالعه زمین‌شناسی این سنگ‌ها پرداخت و ماهیت گدازه‌ای آن‌ها را به جز در مناطق چشمه‌علی، تویه‌دروار و شهمیرزاد نفی کرد. در این بررسی، ماهیت آلکالن و جایگاه درون ورقه‌ای قاره‌ای تشکیل این سنگ‌ها نیز مشخص گردید (مقدسی و فاسمی، ۱۳۸۲). جمشیدی (۱۳۸۹) به مطالعه دقیق‌تر و گسترده‌تر رخنمون‌های این سنگ‌ها در اطراف شهرورد و دامغان پرداخت. سنگ‌های مورد مطالعه، در مناطق قشلاق (ناحیه خوش بیلاق در شمال شهرورد)، طزره، تالو و کلاته‌روبار (در شمال و شمال‌غرب شهرستان دامغان) به شکل نفوذی (دایک، سیل و استوک‌های کوچک) و با یک طیف ترکیبی تغییری از الیوین‌گابری-

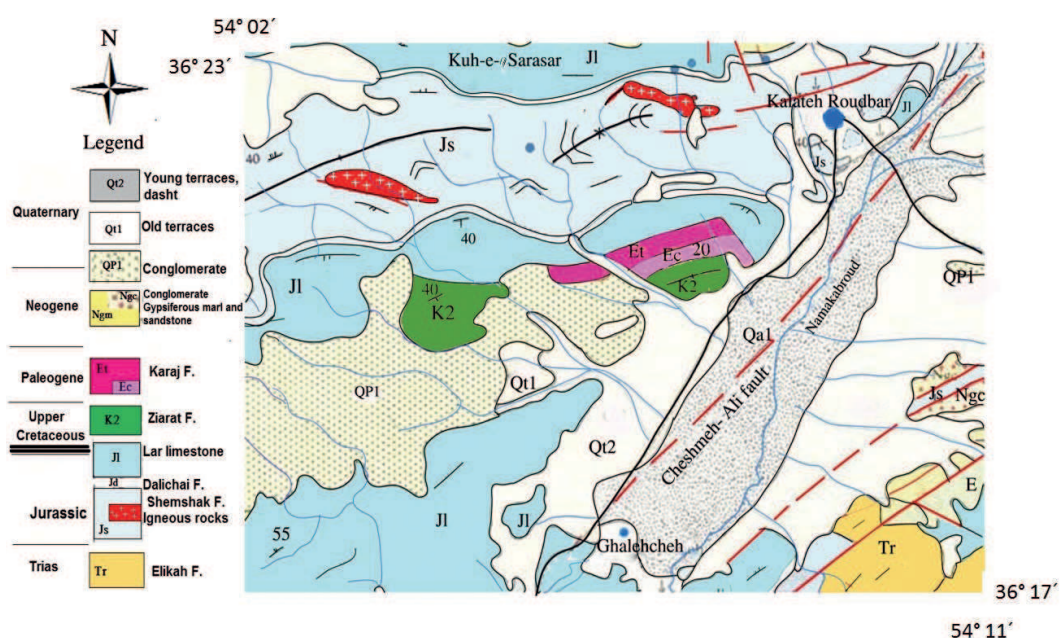
* نویسنده مرتبط h-ghasemi@shahroodut.ac.ir



شکل ۱. بخشی از نقشه زمین‌شناسی ۱/۱۰۰۰۰ دامغان (علوی و صالحی راد، ۱۹۷۵) و حضور سنگ‌های آذرین بازیک مورد مطالعه به شکل سیل در قاعده سازند شمشک.

این تحقیق با هدف تکمیل مطالعات پترولوزیکی بر روی سنگ‌های آذرین رخنمون یافته در بخش زیرین مجموعه شمشک و با توجه ویژه به بررسی خصوصیات سنگ‌های محل منشأ که از ذوب آن‌ها، مانگماهای سازنده این سنگ‌ها تشکیل شده‌اند، به نکارش در آمده است. نظر به این‌که برای مطالعه خصوصیات ناحیه منشأ صرفاً باید از ترکیبات مانگمای اوله استفاده کرد، لذا

آذرین مذکور و نقش تبلور تفریقی به همراه هضم و آلایش مگامایی در تحول ماقمای سازنده این سنگ هاست. ماقماتیسم آلکالن در مناطق مورد بحث با تشکیل حوضه های کششی کافته پشت کمان در زون البرز در طول تربیاس بالایی - ژوراسیک زیرین در ارتباط می باشد (جمشیدی، ۱۳۸۹؛ قاسمی و جمشیدی، ۱۳۹۰؛ دروزی و مسعودی، ۲۰۰۹؛ Wilmsen et al., 2009).



شکل ۲. بخشی از نقشه زمین‌شناسی ۱/۱۰۰۰۰ دامغان (علوی و صالحی راد، ۱۹۷۵) و حضور رخنمونهای آذرین مورد مطالعه به شکل استوک درون بخشی، زمین سازند شمشک.

می باشند (شکل ۳-الف و ب). حضور اسفن، آپاتیت و فلوگوپیت در این نمونه ها، ماهیت آکالن ماقمای سازنده این سنگ ها را به اثبات می رسانند. سیل های دیابازی منطقه طزره، عمدتاً دارای بافت افیتیک و کانی های اصلی پلازیوکلاز و اوژیت هستند (شکل ۳-ج). نمونه های آتشفسنی مناطق چشمته علی، تویه دروار و شهمیرزاد دارای بافت های پورفیری و گلومروپورفیری با کانی های پلازیوکلاز، الیوین ایدنگستی شده (شکل ۳-د) و به مقدار کمتر کلینوپیروکسن بوده و ترکیب اولیوین بازالتی دارند (مقدسی، ۱۳۸۲؛ جمشیدی، ۱۳۸۹).

در این نوشتار فقط از داده های ژئوشیمیایی مربوط به نمونه های بازیک (گابریوی و بازالتی) استفاده شده و از داده های ژئوشیمیایی نمونه های تفریق یافته (مانند مونزونیت و دیوریت) استفاده نشده است. مسائل مهم مورد بررسی در بحث منشأ سنگ های بازیک، شامل مطالعه ترکیب گوشه محل منبع، درجه ذوب بخشی آن و همچنین موقعیت یا ژرفای محیط تشکیل مذاب است. در این تحقیق، خصوصیات ناحیه منشأ سنگ های بازیک قاعده سازند مششک به کمک شواهد ژئوشیمیایی و پتروژئنیکی بررسی شده است.

نتایج و بحث

با توجه به نمودار مجموع درصد وزنی $\text{Na}_2\text{O} + \text{K}_2\text{O}$ در برابر درصد وزنی SiO_2 (Peccerillo and Taylor, 1976)، نمونه های بازیک مورد بررسی در محدوده سری آکالن واقع می شوند (شکل ۴-الف). این نمونه ها، در نمودار درصد وزنی TiO_2 (De Albuquerque, 1979) در محدوده مقابله نسبت $\text{Zr}/\text{P}_2\text{O}_5$ (Zr/P₂O₅) مطابق (Shukla et al., 1979) بازالت های آکالن و خارج از محدوده های سری تولئیتی و سنگ های مرتبط با جزایر کمانی واقع می شوند (شکل ۴-ب) که با جایگزینی این سنگ ها در یک محیط کششی درون قاره ای (محل تشکیل سازند شمشک) مطابقت دارد. بازالت های درون ورقه ای دارای مقادیر Ti بالاتری نسبت به سایر انواع بازالت ها در محیط های تکتونیکی دیگر هستند. این امر احتمالاً منعکس کننده یک محل منشأ غنی شده نسبت به محل منشأ مورب و بازالت های کمان آتشفسنی می باشد. از طرف دیگر، ترکیبات آکالن در مقایسه با سنگ های تولئیتی با مقادیر $\text{Zr}/\text{P}_2\text{O}_5$ یکسان، دارای P_2O_5 بالاتری هستند (Winchester and Floyd, 1976).

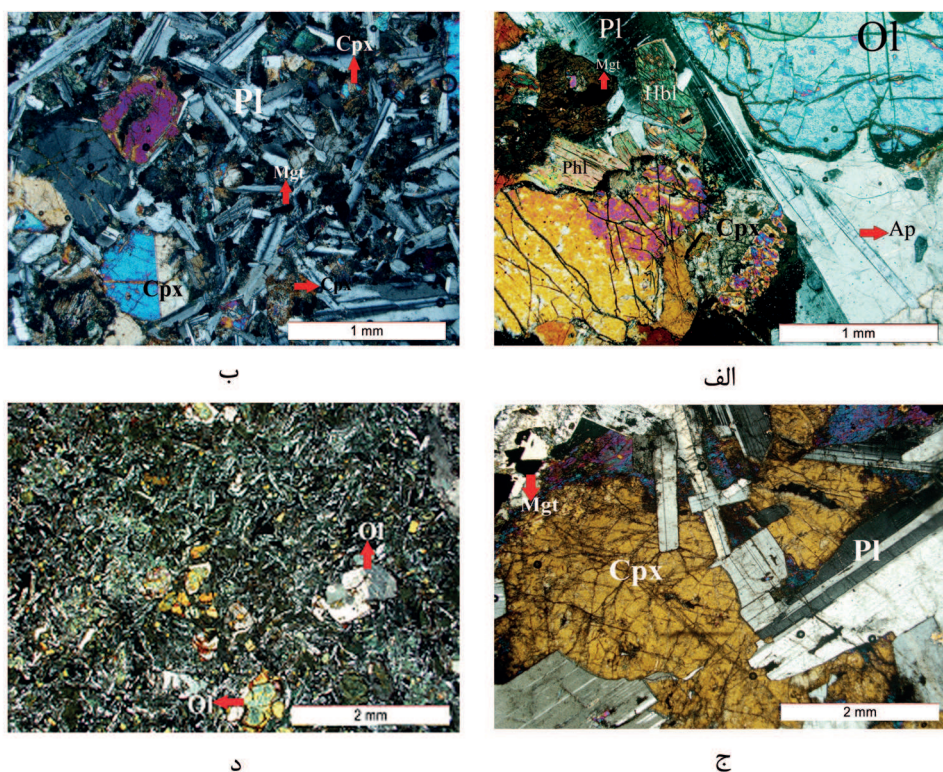
منشأ ماقماتیسم آکالن در محیط های کششی درون ورقه ای همچنان مورد بحث است. در حال حاضر عقیده بر این است که بازالت های آکالن جزایر اقیانوسی (OIB)، تنها از گوشه استنسوفری مشتق می شوند (Alici et al., 2002) ولی ماقماهای آکالن درون قاره ای می توانند به وسیله ذوب بخشی گوشه متاسوماتیسم شده غنی از LREE و LILE ایجاد شوند (Upadhyay et al., 2006). به عقیده Fitton (1987) ذوب بخشی درجه پائین یک گوشه استنسوفری منجر به تشکیل مذاب های آکالن قاره ای می شود. Menzies (1987) تولید ماقماهای آکالن را به واکنش یک مذاب استنسوفری با گوشه لیتوسفری نسبت می دهد. غنی شدگی از Pb , Ba , P و تهی شدگی از HREE در ماقماهای آکالن قاره ای را می توان به منشأ گوشه لیتوسفری نسبت داد (Alici et al., 2002; Gouraud and Vincent, 2004; Aldinucci et al., 2008). امروزه، از مقادیر نسبت های عناصر اصلی، کمیاب خاکی (REE) و نسبت های آنها با یکدیگر، برای شناسایی منابع مختلف گوشه های و همچنین تعیین ترکیب، درجه ذوب بخشی و عمق سنگ منشأ استفاده می شود (Furman, 2007; Zhao and Zhou, 2007). با مقایسه مقادیر اکسیدهای عناصر اصلی نظیر SiO_2 و FeO در ترکیبات اولیه، میزان فشار و عمق

روش انجام پژوهش

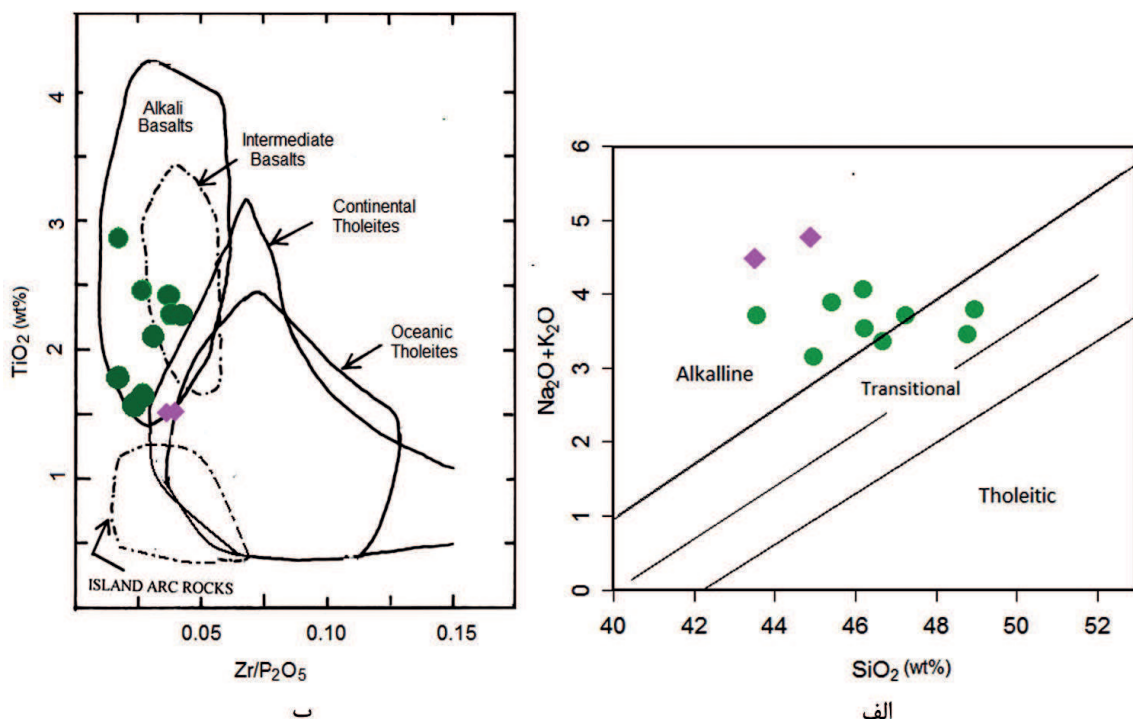
پس از مطالعات صحرایی و نمونه برداری های میدانی در مناطق مورد هدف که سنگ های آذرین آکالن وابسته به کافت زایی پشت کمان البرز در آن رخنمون دارند، بیش از ۷۰ مقطع نازک میکروسکوپی جهت بررسی های پتروگرافی بر روی این سنگ ها تهیه شد. از بین نمونه های کمتر دگرسان شده و سالم، تعداد ۱۱ نمونه سنگی شامل نه نمونه گابریوی و دو نمونه بازالتی کمتر دگرسان شده انتخاب و جهت تعیین میزان عناصر اصلی، کمیاب و کمیاب خاکی در آزمایشگاه ژئوشیمی ACME کانادا به روش ICP-MS (بسته ترکیبی ۴A و ۴B) تجزیه شد. نتایج حاصل از تجزیه شیمیایی نمونه ها (جدول ۱) با هدف بررسی ویژگی های محل منشأ سنگ های آذرین بخش زیرین سازند شمشک، توسط نرم افزار های مختلف پترولولوژیکی مورد پردازش قرار گرفته اند.

پتروگرافی

سنگ های آذرین موجود درون بخش قاعده ای سازند شمشک، در منطقه قشلاق (ناحیه خوش بیلاق در شمال شهرود) به شکل یک سیل تفریق یافته به ضخامت حدود ۱۰۰ متر در میان شیل ها و ماسه سنگ های بخش زیرین سازند شمشک دیده می شوند. بخش های بالا و پایین این سیل دارای حاشیه انجامد سریع بوده و بسیار ریزدانه هستند، اما با حرکت به سمت بخش میانی، سنگ ها دانه درشت تر می شوند. بخش میانی، از پایین به بالا شامل الیوین گابریو، گابریو، دیوریت، مونزودیوریت و مونزونیت است. در مناطق طزره، تالو و کلاته رو دبار (در شمال و شمال غرب شهرستان دامغان) نیز این سنگ ها به شکل نفوذی (دایک)، سیل و استوک های کوچک در همان افق چینه شناسی دیده می شوند و غالباً شامل الیوین گابریو، گابریو و دیوریت می باشند. اما در مناطق چشمته علی و تویه دروار (در شمال و شمال غرب شهرستان دامغان) و شهمیرزاد (در شمال سمنان)، رخنمون سنگ های مزبور به شکل گذازه بازالتی است و در افق چینه شناسی پایین تر (آغاز رسوب گذاری سازند شمشک) حضور دارند. مطالعات میکروسکوپی روی نمونه های مورد مطالعه نشان می دهد که سنگ های الیوین گابریوی و گابریوی قاعده سازند شمشک در مناطق قشلاق، تالو و کلاته رو دبار دارای بافت های انباستی، دانه ای، اینترگرانولار و افیتیک و حاوی کانی های الیوین، پلازیوکلاز، اوژیت و هورنبلند



شکل ۳. تصاویر میکروسکوپی از (الف) بافت انباشتی همراه با کانی‌های موجود در الیوین‌گابروی تالو، (ب) بافت ایترگرانولار و حضور کانی‌های اوزیت و پلاژیوکلاز در گابروی قشلاق، (ج) بافت افیتیک و کانی‌های کلینوپیروکسن، پلاژیوکلاز و منیت در سیل دیابازی طرره، (د) بافت گلومروپورفیری، تجمع موضعی بلورهای الیوین در زمینه‌ای از میکرولیت‌های پلاژیوکلاز و الیوین در بازالت چشمه‌علی. عالم اختصاری مورد استفاده در این اشکال عبارتند از: الیوین = Ol، کلینوپیروکسن = Cpx، پلاژیوکلاز = Pl، هورنبلند = Hbl، فلوگوپیت = Phl، آپاتیت = Ap، منیت = Mgt.



شکل ۴. الف) نمودار $\text{Na}_2\text{O} + \text{K}_2\text{O}$ در برابر درصد وزنی SiO_2 (Peccerillo and Taylor, 1976) و ب) نمودار درصد وزنی TiO_2 در مقابل نسبت $\text{Zr}/\text{P}_2\text{O}_5$ (De Albuquerque, 1979).

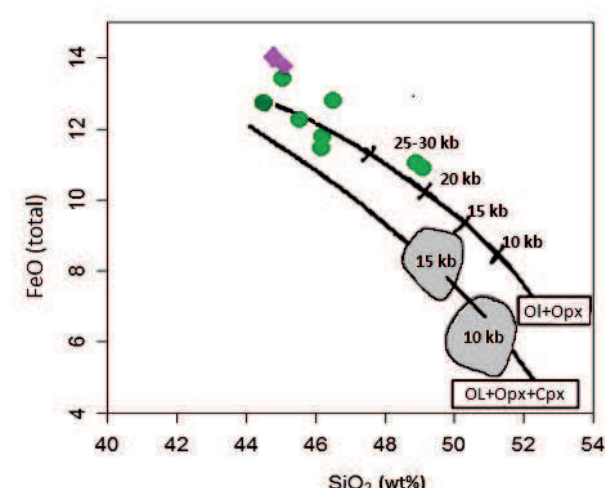
جدول ۱. نتایج تجزیه شیمیایی اکسیدهای عناصر اصلی، کمیاب و کمیاب خاکی نمونه‌های مافیک در مناطق مورد مطالعه.

Samples	Gabro GHESLAGH			Gabro TALO			Gabro TAZARE	Gabro KALATE RODBAR		Basalt CHESHME ALI	
	GH-1	GH-2	GH-3	TA-1	TA-2	TA-3	T-1	K-1	K-2	CH-1	CH-2
	SiO ₂	46.66	44.94	43.54	46.73	46.17	49.75	47.24	46.21	45.40	44.99
Al ₂ O ₃	12.51	10.78	15.83	17.2	18.16	14.75	13.93	15.99	16.25	14.33	14.66
FeOtotal	13.18	14.20	12.69	16.23	11.47	11.24	15.65	11.80	12.22	14.57	15.79
MgO	11.36	14.29	9.44	2.15	6.35	6.59	6.20	7.41	7.25	1.99	2.34
CaO	8.29	8.21	9.82	6.67	6.53	10.66	9.79	10.21	10.07	8.07	7.92
Na ₂ O	2.25	2.12	2.57	2.83	3.07	2.87	2.93	2.82	2.98	4.40	4.11
K ₂ O	1.06	1.00	1.06	0.41	0.91	0.70	0.77	0.61	0.80	0.14	0.11
TiO ₂	2.08	2.28	2.21	1.95	1.53	1.99	2.44	1.33	1.39	1.15	1.16
P ₂ O ₅	0.31	0.30	0.29	0.79	0.25	0.23	0.23	0.18	0.18	0.12	0.12
MnO	0.19	0.19	0.15	0.08	0.09	0.13	0.13	0.17	0.20	0.19	0.19
Cr ₂ O ₃	0.096	0.111	0.052	0.031	0.029	0.025	0.012	0.03	0.03	0.06	0.06
L.O.I	1.9	1.5	2.2	0.9	2.3	1.0	0.7	3.1	3.1	9.5	9.5
Sc	24	26	31	30	28	30	36	29	30	26	28
Ba	278	245	224	121	223	238	287	212	183	108	73
Be	1.0	2.0	1.0	-	-	-	-	1.0	1.0	1.0	-
Co	59.3	71.3	53.9	41.4	36.6	41.5	45.3	44.1	41.2	64.4	70.1
Cs	0.4	0.3	0.5	0.3	0.8	0.4	0.5	0.3	0.5	0.5	0.5
Ga	16.1	14.6	18.3	18.2	16.9	18.9	19.4	16.2	16.5	16.9	16.9
Hf	4.7	4.4	4.6	3.6	2.1	3.9	2.3	2	2.1	2.2	2.0
Nb	21.1	20.9	19.1	11.9	13.7	11.3	13	20.2	20.8	10.5	9.6
Rb	20.1	18.4	20.1	7.6	18.5	12.4	13.6	11.7	16.3	3.7	2.8
Sr	468.9	405.6	372.8	461.3	450.3	485.5	399.3	360	347.6	146	134.2
Ta	1.3	1.4	1.2	8.0	0.8	7.0	0.8	1.1	1.1	0.6	0.6
Th	2.6	2.3	1.8	1.1	0.8	1.4	0.9	1.8	1.9	1.7	1.5
U	0.7	0.6	0.5	0.3	0.2	0.3	0.2	0.5	0.4	0.1	0.1
V	200	231	236	233	194	225	447	232	232	234	221
Zr	177.7	165.1	149.6	128.7	72.8	130.5	83.1	73.1	70.7	74.4	70.4
Y	20.5	20.6	22.7	22.9	18.8	22.7	19.3	17.7	16.8	14.9	14.5
Mo	1.4	0.9	0.3	0.5	0.2	0.9	0.4	0.8	0.7	0.2	0.2
Cu	73	69.7	121.4	56.3	26.6	72.2	114.3	81.9	109.6	24.4	21.2
Pb	3.2	3.1	4.3	1.4	1.2	2.4	42.7	1.6	13.4	1.1	1.3
Zn	75	51	42	18	14	13	10	37	51	60	60
Ni	283.1	380.6	102.2	45.7	42.1	26	20.9	81.7	66.6	272.9	278.3
As	0.7	-	0.8	0.8	1.7	1.0	1.5	0.9	-	-	1.6
La	21.1	19.2	18.2	11.8	9.9	11.7	10.3	12.2	11.9	8.5	8.2
Ce	47.7	45	40.2	28.6	21.3	29	23.4	24.9	23.2	18.5	17.4
Pr	6.27	5.85	5.46	4.02	3.01	4.05	3.08	2.91	2.71	2.41	2.23
Nd	27.6	25.9	24.1	19.3	13.9	20.5	19	12.3	12.4	11.7	10.2
Sm	5.73	5.29	5.26	4.49	3.25	4.61	3.71	2.83	2.84	2.6	2.53
Eu	1.83	1.72	1.73	1.52	1.16	1.61	1.45	1.07	1.1	0.95	0.89
Gd	5.34	4.96	5.46	4.94	3.75	4.87	4.2	3.36	3.15	3.01	2.89

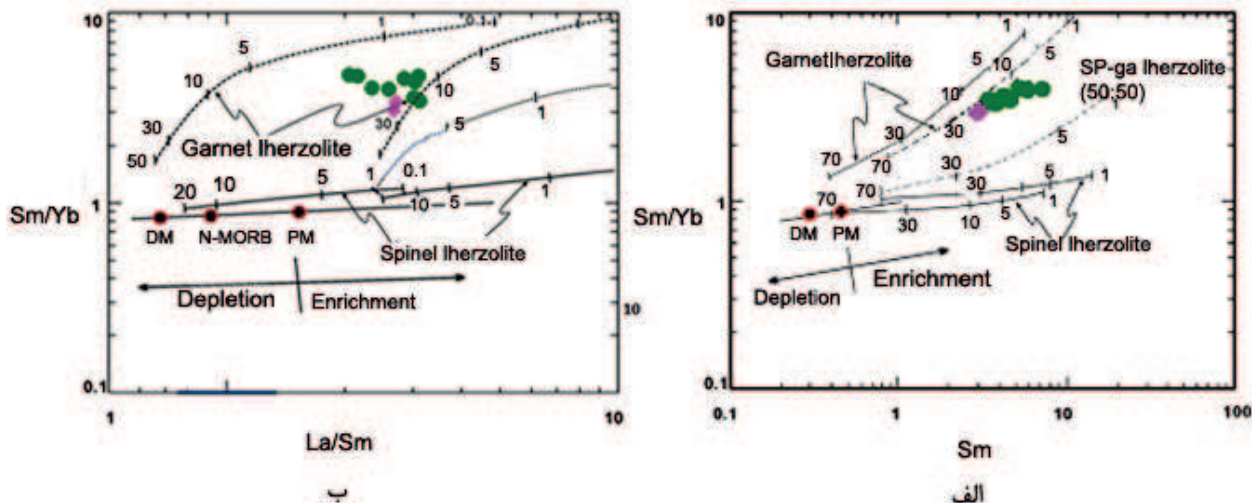
ادامه جدول ۱

	Tb	0.7	0.68	0.73	0.7	0.53	0.69	0.59	0.49	0.49	0.42	0.42
Dy	4.27	4.23	4.57	4.45	3.32	4.59	4.05	3.37	3.34	2.98	2.8	
Ho	0.74	0.76	0.82	0.83	0.7	0.84	0.73	0.66	0.65	0.59	0.58	
Er	1.96	2.11	2.18	2.33	1.84	2.38	2.24	1.9	1.82	1.7	1.83	
Tm	0.23	0.23	0.23	0.26	0.23	0.26	0.24	0.23	0.21	0.2	0.2	
Yb	1.7	1.68	1.59	1.82	1.64	1.83	1.85	1.69	1.63	1.48	1.6	
Lu	0.24	0.24	0.23	0.26	0.22	0.25	0.26	0.24	0.23	0.21	0.21	
Ba/Zr	1.62	1.48	1.50	0.94	3.06	1.82	3.45	2.90	2.59	1.45	1.04	
K/Nd	384.06	386.10	439.83	212.44	654.68	341.46	405.26	495.93	645.19	119.66	107.84	

دارای ضریب توزیع مشابهی در اسپینل هستند، اما نسبت La/Sm با افزایش درجه ذوب بخشی در مذاب کاهش می‌باید (Aldanmaz et al., 2000). لذا مذاب حاصل از ذوب بخشی یک منبع اسپینل لرزولیتی، یک روند افقی ذوب در امتداد منحنی ذوب اسپینل لرزولیت ایجاد می‌کند (شکل ۶) که درون و یا نزدیک به ترکیبات گوشه‌های تهی شده قرار می‌گیرد. در مقابل، گارنت دارای ضریب توزیع بسیار بالایی برای Yb ($D_{\text{garnet}}/\text{melt} = 6.6$) در مقایسه با Sm ($D_{\text{garnet}}/\text{melt} = 0.25$) می‌باشد (Johnson, 1994). لذا، ذوب بخشی درجه پائین تا متوسط یک منع گارنت لرزولیتی (با گارنت باقیمانده در محل منع) منجر به تولید مذابی با نسبت Sm/Yb بالاتر در مقایسه با منع گوشه‌های می‌شود (Aldanmaz et al., 2000). نمونه‌های بازیک مورد مطالعه دارای نسبت Sm/Yb بالایی هستند و در نمودار Sm/Yb در برابر Sm، نزدیک منبع گوشه‌های گارنت-لرزولیتی و دور از منحنی گوشه‌های اسپینل-لرزولیتی قرار می‌گیرند (شکل ۶-الف). نسبت Sm/Yb و حضور گارنت در محل منشأ (Aldanmaz et al., 2000)، منعکس‌کننده تشکیل مagma‌ای آلالکان سازنده سنگ‌های آذرین مورد مطالعه در فشارهای بالا می‌باشد. نسبت La/Sm به عنوان یک معیار مناسب برای اندازه‌گیری تهی شدگی و یا غنی شدگی محل منع از LREE منظور می‌شود (Koglin et al., 2008).



شکل ۵. نمودار FeO در مقابل SiO_2 (Baker and Stolper, 1994; Kushiro, 1996) برای تعیین عمق و درجه ذوب محل منشأ magma‌های بازیک گوشه‌های و موقعیت نمونه‌های مورد مطالعه روی آن.

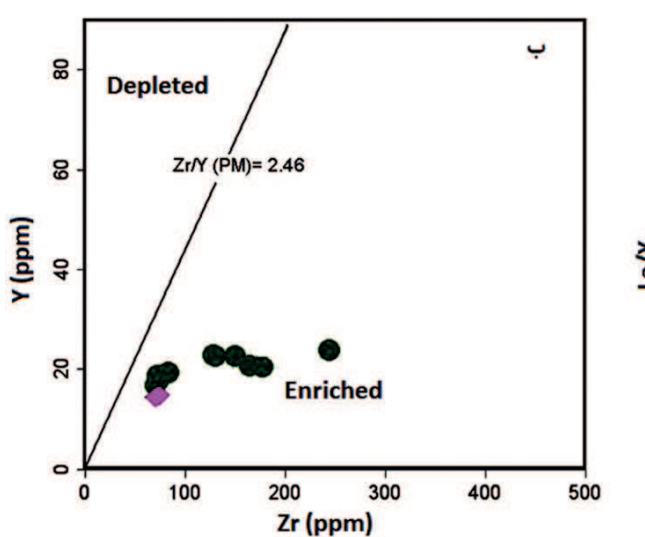


شکل ۶. موقعیت نمونه‌های مورد مطالعه بر روی نمودارهای تعیین ترکیب و درجه ذوب بخشی سنگ منشأ، الف) Sm/Yb در برابر Sm (Aldanmaz et al., 2000; Zhao and Zhou, 2007) و ب) Sm/Yb در برابر Sm/Yb (La/Sm).

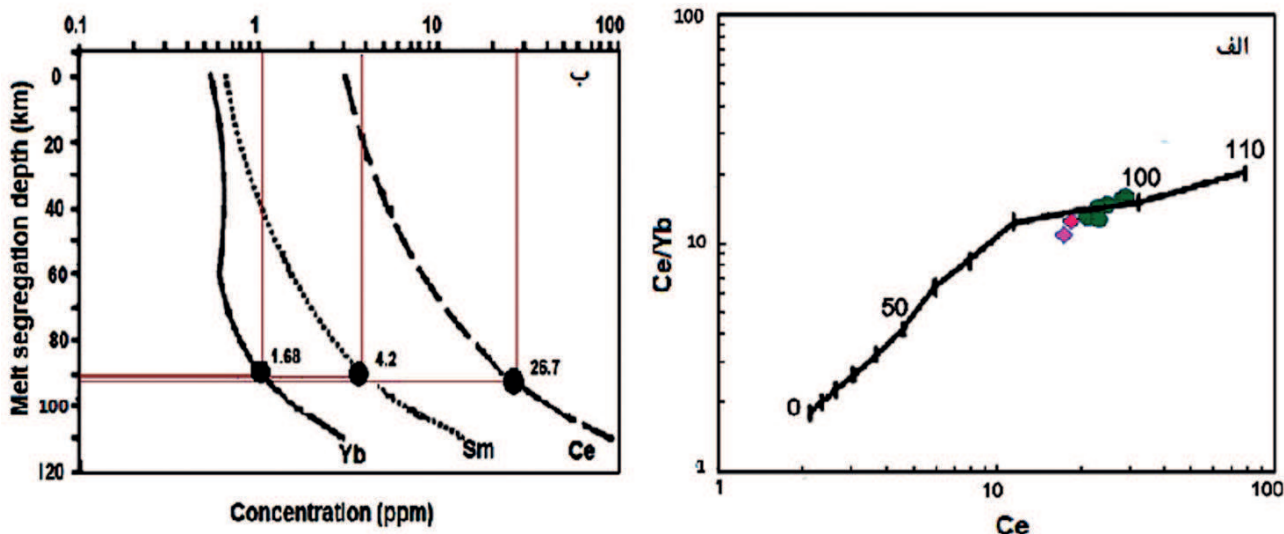
یا عدم وجود غنی شدگی در محل منشأ گوشه‌ای سنگ‌های مورد بررسی و بر اساس داده‌های Sun and McDonough (1989) معرفی شد. براساس این نمودار، نسبت Y/Zr در گوشه‌های اولیه برابر با ۲/۴۶ است، اما این نسبت در نمونه‌های مورد نظر در حدود ۸/۵ می‌باشد، لذا این نمونه‌ها در محدوده گوشه‌های غنی شده قرار می‌گیرند (شکل ۷-ب). نسبت‌های REE‌ها مانند نسبت Ce/Yb در خلال فرآیندهای تبلور تفریقی نسبتاً ثابت مانده و تغییر چندانی نمی‌کنند، لذا این عناصر می‌توانند یک شاخص مناسب برای نشان دادن عمق ذوب بخشی باشند. موقعیت قرارگیری نمونه‌های مورد مطالعه بر روی نمودار Ce/Yb در مقابل Ce/Yb یا نگر اعماق ۹۰ تا ۱۰۰ کیلومتری ذوب بخشی محل منبع این سنگ‌هاست (Ellam and Cox, 1991) که منطبق بر یک گوشه‌های زیر قاره‌ای می‌باشد (شکل ۷-الف). موقعیت این نمونه‌ها در شکل ۷-ب)

در سنگ‌های آلکالن مورد بررسی، از مقادیر گوشه‌های تهی شده (DDM) و گوشه‌های اولیه (PM) بیشتر بوده و در نمودار Sm/Yb در مقابل La/Sm در محدوده گوشه‌های غنی شده واقع می‌شوند (شکل ۶-ب). با توجه به این نمودار، نمونه‌های مورد نظر بر روی منحنی ذوب گارنت لرزولیت قرار گرفته و درجه ذوب بخشی ۱۰-۱۶ درصدی را نشان می‌دهند.

با توجه به نمودار نسبت Y در برابر La/Y (Lustrino and Sharkov, 2006)، مگمای آلکالن نمونه‌های گابرویی مورد مطالعه می‌تواند از ذوب بخشی ۱۰ تا ۱۵ درصدی یک منبع پریدوتیتی با نسبت (گارنت + اسپینل)/گارنت بین ۳/۸ تا ۸/۳ تولید شده باشد (شکل ۷-الف). بازالت آلکالن منطقه چشمۀ علی، همانند نمودارهای پیشین، درجه ذوب بالاتری نشان می‌دهد. نمودار تغییرات عناصر ناسازگار Y در مقابل Zr برای تشخیص وجود و



شکل ۷. موقعیت نمونه‌های آذرین مورد مطالعه در الف) نمودار La/Y-Y (Lustrino and Sharkov, 2006) و ب) نمودار تغییرات Y در مقابل Zr (Jehn et al., 2006). جهت تعیین کانی‌شناسی و درجه ذوب بخشی محل منشأ آنها،



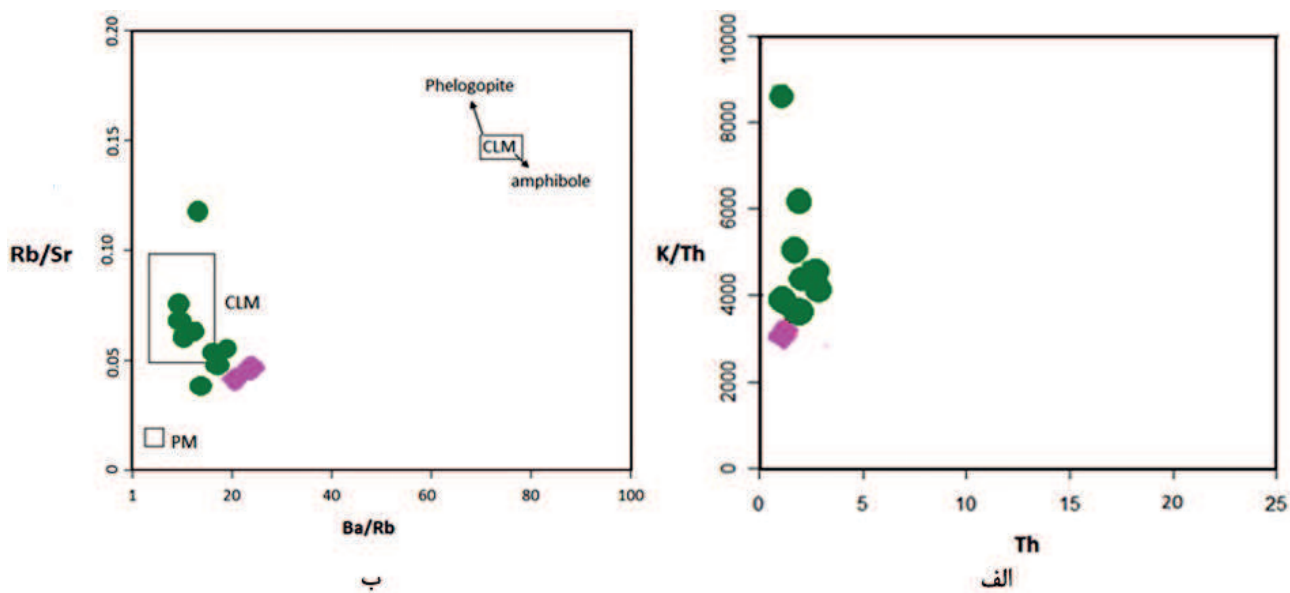
شکل ۸ الف) نمودار Ce/Yb در مقابل Ce و ب) نمودار تمرکز میانگین عناصر Sm، Yb، Ce در مقابل عمق جدایش (Ellam and Cox, 1991). بر اساس این نمودارها، سنگ‌های بازیک مورد مطالعه از اعماق ۹۰ تا ۱۰۰ کیلومتری گوشه منشأ گرفته‌اند.

از نمودار نسبت Th/K در مقابل Th (Furman, 2007) استفاده شده است (شکل ۹-الف). فلوگوپیت در مقایسه با آمفیبول، از مقادیر پتانسیم بالاتری در ساختار خود برخوردار است. پائین‌ترین درجات ذوب بخشی یک منبع آمفیبول‌دار، با بالاترین مقدار Th یا کمترین مقدار K/Th مشخص می‌شود. در مقابل، یک منشأ فلوگوپیت‌دار با همان مقادیر Th، اما نسبت بالاتر K/Th، بیان‌گر درجه ذوب بیشتر می‌باشد (Furman, 2007). نمونه‌های مورد مطالعه از نسبت Th/K تقریباً بالایی برخوردار هستند که می‌تواند با تولید ماسه‌ای سازنده این سنگ‌ها از ذوب بخشی یک منبع گوشه‌ای متاسوماتیسم شده حاوی فلوگوپیت مطابقت داشته باشد. برآوردهای آزمایشگاهی، نشان‌دهنده پایداری فلوگوپیت

که براساس تمرکز میانگین عناصر Sm، Yb و Ce ترسیم شد (El-Elam and Cox, 1991) نیز با عمق جدایش ماسه‌ای مولد در حدود ۹۰ کیلومتر مطابقت دارد.

بررسی نقش فازهای آبدار در ناحیه محل منشأ

حضور فازهای آبدار مانند فلوگوپیت و آمفیبول در لیتوسفر زیرقاره‌ای را می‌توان به یک منشأ متاسوماتیکی نسبت داد (Wass and Roge, 2003). به عقیده (Guo and Green, 2003) متاسوماتیسم گوشه‌ای بالایی، مقدمه‌ای بر وقوع ماسه‌ای آلمانی می‌باشد. جهت بررسی فرایند متاسوماتیسم گوشه‌ای و نقش فازهای آبدار از جمله آمفیبول و فلوگوپیت در ناحیه منشأ،



شکل ۹. موقعیت نمونه‌های مورد مطالعه در نمودارهای بررسی نقش آمفیبول و فلوگوپیت در ناحیه منشأ، الف) نسبت Th/K در مقابل Th (Furman, 2007) و ب) نمودار نسبت Rb/Sr در برابر Ba/Rb (Furman, 2007).

آلایش یافته با پوسته، این میزان بین ۲ تا ۵ تغییر می‌کند (Hoang and Flower, 1998). میانگین این نسبت در نمونه‌های بازیک مورد بررسی، ۴ می‌باشد و به خوبی آگشتگی این سنگ‌ها با پوسته قاره‌ای را نشان می‌دهد. میزان بالای نسبت Nd/K (>300) نیز بیان‌گر آلایش پوسته‌ای سنگ‌هاست (Haase and Renno, 2008). این نسبت با میانگین نزدیک به ۴۰۰ در سنگ‌های آذرین مورد بحث نشان‌دهنده نقش آلایش پوسته‌ای مagmaهای سازنده آن‌ها در طول صعود است.

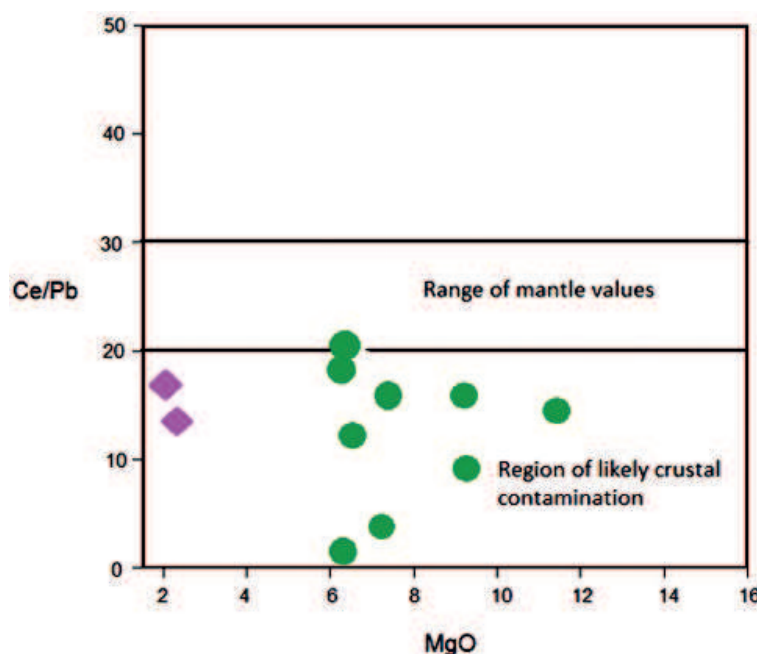
ارتبط مagmaتیسم با زمین‌ساخت منطقه

سنگ‌های آذرین بازیک مورد مطالعه با ماهیت آلکالن درون ورقه قاره‌ای به صورت پراکنده در بخش قاعده‌ای سازنده شمشک در زون البرز رخنمون دارند. دروزی و مسعودی (۱۳۹۱) نیز حضور یک توده گابرویی آلکالن با ترتیب تزالیت - تشنبت در بخش شیلی - سیلتی پایینی سازنده شمشک در البرز مرکزی را گزارش کرده‌اند. سعیدی (۱۳۷۲) سن این توده را ژوراسیک میانی دانسته است. شناخت بیشتر تحولات زمین‌ساختی منطقه مورد مطالعه به عنوان بخشی از زون زمین‌شناسی و ساختاری البرز، در ارائه یک الگوی تکتونوماماگمایی برای چگونگی رویداد magmaتیسم آلکالن در حوضه رسوبگذاری شمشک کمک قابل توجهی خواهد کرد. مدل‌های رئودینامیکی از ورقه ایران نشان می‌دهند که در مرز تریاس میانی - بالایی تغییرات قابل ملاحظه‌ای در الگوی رسوبگذاری رخ داده است که با جایگزینی رسوبات سکویی قاره‌ای کربناته (سازنده الیکا و شتری) به وسیله رسوبات آواری سیلیسی گروه شمشک به سن تریاس بالایی - ژوراسیک میانی قابل تشخیص است. این رخداد، منعکس کننده کوهزایی سیمیرین پیشین و توسعه گروه شمشک به عنوان رسوبات مولاس

در فشارهای نزدیک به ۳۰-۳۵ کیلوبار و با عمق حداقل ۹۰ کیلومتر می‌باشد (Olafsson and Eggler, 1983; Wall lace and Green, 1988; Sato et al., 1997; Furman, 2007) شواهد مذکور طبیعت آلکالن سنگ‌های مافیک مورد بررسی و ذوب بخشی یک منبع گارنت - پریدوتیتی در اعمق ۹۰ تا ۱۰۰ کیلومتری مطابقت دارد. براساس نمودار نسبت Ba/Rb در مقابل نسبت Sr/Rb نیز محل مترا مagmaهای تشکیل دهنده سنگ‌های بازیک مورد بحث، لیتوسفر زیر قاره‌ای بوده و روند تغییرات Sr/Rb و Ba/Rb ، حضور فاز آبدار فلوكوپیت را در ناحیه منبع تائید می‌کنند (شکل ۹-ب).

بررسی نقش آلایش پوسته‌ای در تشکیل سنگ‌های بازیک مورد مطالعه

به دلیل عبور magmaهای آلکالن از لیتوسفر ضخیم زیرقاره‌ای در هنگام صعود، بررسی اثر فرایندهای magmaی همچون آلایش و هضم سنگ‌های پوسته‌ی قاره‌ای بر آن‌ها از اهمیت زیادی برخوردار است. مواد پوسته‌ای از K_2O , Na_2O , LILE, Pb در مقدار این Th غنی هستند. لذا آلایش پوسته‌ای، باعث افزایش مقدار این عناصر در magmaهای عبوری می‌شود (Kürkcüoglu et al., 2008) نسبت Ce/Pb به عنوان یک شاخص حساس در تشخیص آلایش پوسته‌ای عمل می‌کند. میانگین نسبت Ce/Pb در محدوده 25 ± 5 مشق شده از گوشته در محدوده 20 ± 3 می‌باشد (Hofmann et al., 1986) و در پوسته قاره‌ای، برابر با $3/3$ می‌باشد (Rudnick and Fountain, 1995). نسبت Ce/Pb در نمونه‌های بازیک مورد نظر در محدوده 3 تا 20 بوده و براساس نمودار Ce/Pb در مقابل MgO از (Furman et al., 2007) در قلمرو مقادیر آلایش یافته با پوسته واقع می‌شود (شکل ۱۰). یکی از شاخصه‌های مهم هضم و آلایش پوسته‌ای، نسبت‌های بالای Ba/Zr است. در بازالت‌های قاره‌ای



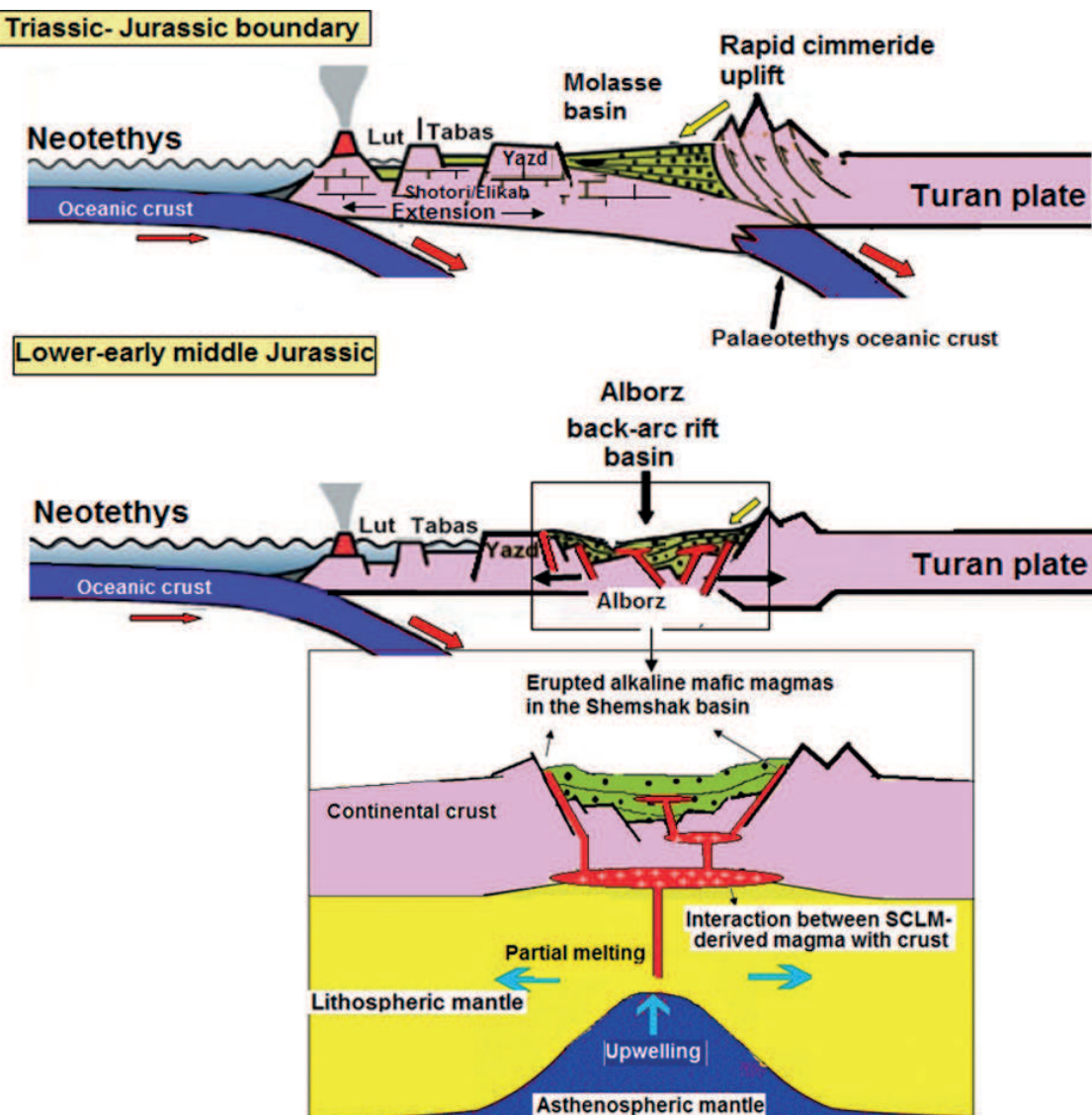
شکل ۱۰. موقعیت نمونه‌های مورد مطالعه در نمودار Ce/Pb در مقابل MgO (Furman, 2007)

در تریاس بالایی (نورین - رتین)، فروزانش اقیانوس نئوتیس به زیر حاشیه جنوبی ورقه ایران منجر به تشکیل حوضه‌های کششی بعده و کاهش فشار بر ورقه ایران شد. پس از تنشیت رسوبات آواری سیلیسی در حوضه پیش بوم پیرامونی البرز، در مرز تریاس بالایی - ژوراسیک زیرین، یک حادثه کوهزایی مهم (رخداد سیمیرین میانی) به همراه افزایش سرعت رسوبگذاری، حوضه مذکور را تحت تأثیر قرار می‌دهد، به طوری که رسوبات مولاس ژوراسیک زیرین بر روی رسوبات فلیش تریاس بالایی تنشیت می‌شوند.

در ژوراسیک زیرین - میانی آهنگ بالای فرونژیت تکتونیکی (m/Ma60) و تغییرات شدید ضخامت جانبی رخساره‌ها از شمال به جنوب البرز بیانگر شروع بازشدگی در شمال ایران است (Für-*sich et al., 2005, 2009*) که با فروزانش مدام اقیانوس نئوتیس

سیمیرین است که در یک حوضه پیش بوم پساکوهزایی تنشیت شده است (Seyed-Emami et al., 2006; Zanchi et al., 2009; Wilmsen et al., 2009). کوهزایی سیمیرین پیشین با تصادم ورقه ایران به عنوان بخشی از ایالت سیمیرین با حاشیه شمالی اوراسیا (ورقه توران) در تریاس بالایی و بسته شدن اقیانوس پالئوتیس در ارتباط بوده است.

در تریاس میانی (اشکوب لادین) جدایش و حرکت رو به شمال ورقه ایران (ایالت سیمیرین) منجر به باریک شدن قابل ملاحظه اقیانوس پالئوتیس و گسترش سریع تر بستر اقیانوس نئوتیس شد. تصادم اولیه ورقه ایران و اوراسیا (ورقه توران) ناشی از بسته شدن بستر اقیانوس پالئوتیس در مرز تریاس میانی - بالایی، سبب سوچ دادن حاشیه شمالی ورقه ایران به داخل یک حوضه پیش بوم پیرامونی شد (Wilmsen et al., 2009).



شکل ۱۱. مدل ژئودینامیکی تحولات زمین‌ساختی تریاس بالایی - ابتدای ژوراسیک میانی ورقه ایران و تشکیل حوضه بازشدگی پشت کمان و رسوبگذاری سازند شمشک در این حوضه، با الهام از مدل ژئودینامیکی (Wilmsen et al., 2009). چگونگی تشکیل ماقمانتیسم آکالان درون ورقه‌ای و صعود آن از طریق سیم گسلی در البرز.

این رخداد ماجمایی در حوضه رسویگذاری سازند شمشک را می‌توان به تشكیل حوضه‌های کافتی پشت کمان ناشی از کشش و وارفتگی پوسته البرز بعد از رویداد زمین‌ساختی تریاس بالایی (سیمیرین پیشین) نسبت داد. در نتیجه این رویداد کششی، گوشته استنسوفری به شکل ستونی شروع به بالا آمدن کرد. ذوب بخشی ناشی از کاهش فشار در قسمت سر ستون منجر به تولید ماجمای آکالانی شد که از طریق گسل‌های نرمال در داخل حوضه رسویگذاری سازند شمشک (تریاس بالایی - ژوراسیک زیرین) در حاشیه قاره‌ای غیر فعل البرز جایگزین گردید.

منابع

- آقانباتی، ع.، ۱۳۸۳. زمین‌شناسی ایران. سازمان زمین‌شناسی و اکتشافات معدنی کشور، چاپ اول.
- جمشیدی، خ.، ۱۳۸۹. مطالعه ماجماییسم مافیک قاعده سازند شمشک در زون البرز شرقی. پایان‌نامه کارشناسی ارشد، دانشگاه صنعتی شاهروド، ایران.
- جمشیدی، خ.، قاسمی، ح.، طاهری، ع. و صادقیان، م.، ۱۳۸۸. زمین‌شناسی و پتروژئن توده نفوذی بازیک تعریق یافته قشلاق واقع در قاعده سازند شمشک، گردنخه خوش بیلاق، شمال شرق شاهروド. هدف‌همیں همایش انجمن بلورشناسی و کانی‌شناسی ایران، دانشگاه همدان.
- دروزی، ر. و مسعودی، ف.، ۱۳۹۱. زمین‌شیمی، پتروژئن و محیط تکتونیکی توده گابرویی ترالیتی و تشنبیتی کمرین (البرز مرکزی). مجله پترولوزی، ۱۲، ۸۹-۱۰۲.
- شهیدی، ع.، ۱۳۹۱. چرخش شاخه خاوری البرز بر پایه داده‌های تنش دیرینه. سمینار تخصصی زمین‌شناسی البرز شرقی، دانشگاه دامغان.
- صادقیان، م.، ۱۳۹۱. شواهد ماجماییسم سیمیرین میانی در پنهانه سنتدج - سیرجان تا حاشیه جنوبی پنهانه البرز شرقی. سمینار تخصصی زمین‌شناسی البرز شرقی، دانشگاه دامغان.
- علوی، م. و صالحی‌راد، ر.، ۱۹۷۵. نقشه زمین‌شناسی ۱:۱۰۰۰۰۰ دامغان. سازمان زمین‌شناسی و اکتشافات معدنی کشور، تهران.
- قاسمی، ح. و جمشیدی، خ.، ۱۳۹۰. ژئوشیمی، پترولوزی و الگوی تکتونوماجمایی پیشنهادی برای تشكیل سنگ‌های بازیک آکالان در قاعده سازند شمشک، زون البرز شرقی. مجله بلورشناسی و کانی‌شناسی ایران، ۴، ۶۹۹-۷۱۴.
- مقدسی، ص. و قاسمی، ح.، ۱۳۸۲. زمین‌شناسی و ژئوشیمی سنگ‌های آذرین قاعده سازند شمشک در البرز شرقی. چکیده مقالات بیست و دومین گردهمایی علوم زمین، سازمان زمین‌شناسی کشور، تهران.
- مقدسی، ص.، ۱۳۸۲. پترولوزی، پتروژئن و جایگاه چینه‌نگاری سنگ‌های آتشفشاری ژوراسیک در زون البرز شرقی. پایان‌نامه کارشناسی ارشد، دانشگاه صنعتی شاهروド، ایران.
- سعیدی، ع.، ۱۳۷۲. نقشه زمین‌شناسی ۱/۱۰۰۰۰۰ بلدۀ سازمان زمین‌شناسی و اکتشافات معدنی ایران، تهران.

و بازشدن نهایی حوضه‌های کافت پشت کمان در طول حاشیه (Brunet et al., 2003; Golonka, Wilmsen et al., 2009, 2004) موارد مذکور همراه با یک روند عمیق‌شدن وابسته به کافت در واحدهای سنگی ژوراسیک میانی - بالایی (سازندهای دلیچای)، لار و چمن بید) و وجود دایک‌ها و سیل‌های دیابازی در سازندهای شمشک و کشف رود، بازگو کننده فعالیت‌های تکتونیکی شدید همراه با رسویگذاری و حمایت از یک الگوی کافتی برای محیط رسویگذاری این سازندهاست (Taheri et al. 2009). شهیدی (۱۳۹۱) نیز وجود یک محیط کششی در زمان رسویگذاری سازند شمشک را تأکید کرده است.

فوران‌های آتشفشاری آکالان در مجموعه شمشک را می‌توان به سیستم‌های گسلی نرمال حاصل از کشش مذکور و بالازدگی و فرون‌نشست حوضه مرتبط دانست (Wilmsen et al., 2009) (برخی از محققین بر وجود گسل‌های نرمال مرتبط با کشش و بالازدگی بعد از رسویگذاری سازند الیکا در حوضه پیش بوم البرز تائید کرده‌اند (Zanchi et al., 2009). کاهش فشار ناشی از کشیدگی و نازک‌شدن پوسته قاره‌ای بر روی گوشته و صعود آرام ستون گوشته استنسوفری، بدون از دست دادن گرما (صعود آدیاباتیک)، سبب ذوب بخشی (۱۵-۱۰ درصدی) منطقه سر ستون گوشته زیر لیتوسفر قاره‌ای (SCLM) شده است.

مذاب بازالتی آکالان حاصل از طریق گسل‌های نرمال بالا آمده‌اند. این مذاب در طول صعود متتحمل آلایش پوسته‌ای ناشی از هضم مواد قاره‌ای شده است. صادقیان (۱۳۹۱) به حضور دایک‌های دیابازی و تودهای نفوذی گابرویی مشابهی در مناطق دلبر و بند هزار چاه در شمال ایران مرکزی، در همان افق چینه‌شناسی اشاره کرده و با مطالعات چینه‌شناسی و تعیین سن ایزوتوپی، محدوده سنی ژوراسیک میانی تا اوایل ژوراسیک بالایی را برای آن‌ها در نظر گرفته است. این دایک‌ها، واحدهای کنگلومرا، ماسه‌سنگ و شیل‌های متعلق به تریاس پایانی - ژوراسیک زیرین (معادل سازند شمشک در البرز) را قطع کرده‌اند و با ماجماییسم مرتبط با کشش ناشی از بسته شدن پالئوتیس و تداوم فرورانش نئوتیس به زیر ایران مرکزی در ارتباط هستند (شکل ۱۱).

پس از حادثه سیمیرین میانی و از بازوسین بالایی (اوخر ژوراسیک میانی) با شروع مرحله جدیدی از فرون‌نشست سریع در شمال ایران، سازند دلیچای و سپس سازند لار متعلق به محیط دریایی عمیق رسویگذاری کردند. روند عمیق‌تر شدن وابسته به کشش پوسته و توسعه بیشتر کافت‌زایی پشت کمان منجر به ظهور حوضه خزر جنوبی در البرز شد (Brunet et al., 2003).

نتیجه‌گیری

سنگ‌های آذرین بازیک آکالان به فراوانی در بخش شیلی - سیلتی قاعده سازند شمشک حضور دارند. مطالعات ژئوشیمیایی و پتروژئنیکی حاکی از تشكیل ماجمای سازنده این سنگ‌ها از ذوب بخشی یک منبع گوشته‌ای غنی‌شده گارنت‌لرزولیتی است.

- Aldanmaz, E., Pearce, J.A., Thirlwall, M.F. and Mitchell, J.G., 2000. Petrogenetic evolution of late Cenozoic, post-collision volcanism in western Anatolia, Turkey. *Journal of Volcanology and Geothermal Research*, 102, 67-95.
- Aldinucci, M., Gandin, A. and Sandrelli, F., 2008. The Mesozoic continental rifting in the Mediterranean area: insights from the Verrucano tectofacies of southern Tuscany (Northern Apennines, Italy). *Journal of Earth Science (Geol Rundsch)*, 97, 1247-1269.
- Alici, P., Temel, A. and Gourgaud, A., 2002. Pb-Nd-Sr isotope and trace element geochemistry of Quaternary extension-related alkaline volcanism: a case study of Kula region (western Anatolia, Turkey). *Journal of Volcanology and Geothermal Research*, 115, 487-510.
- Allenbach, P., 1966. Geologie und petrography des Damavand und seiner Umgebung (Zentral Elborz), Iran. *Mittelung Nr. 63*, Geologisches Institut, EHT- Zurich, 114.
- Annells, R.N., Arthurton, R.S., Bazely, R.A. and Davis, R.G., 1975 Explanatory text of the Qazvin and Rasht quadrangles map (1:250000). Geological Survey of Iran. E3, E4, 94.
- Baker, M.B. and Stolper, E.M., 1994. Determining the composition of highpressure mantle melts using diamond aggregates. *Geochemical et Cosmochimica Acta*, 58, 2811-2827.
- Brunet M.F., Korotaev M., Ershov A. and Nikishin A., 2003. The South Caspian Basin: a review of its evolution from subsidence modeling. *Sedimentary Geology*, 156, 119-148.
- Brunet, M.F., Korotaev, M., Ershov, A. and Nikishin, A., 2003. The South Caspian Basin: a review of its evolution from subsidence modeling. *Sedimentary Geology*, 156, 119-148.
- De Albuquerque, C.A.R., 1979. Origin of plutonic rocks of southern Nova Scotia. *Geological Society of America Bulletin*, 90, 719-731.
- Delenbach, J., 1964. Contribution a l'étude géologique de la région située à l'est de Téhéran (Iran). Faculté Science Université de Strasbourg (France), 117.
- Ellam, R.M and Cox, K.G., 1991. An interpretation of Karoo picrite basalts in terms of interaction between asthenospheric magmas and the mantle lithosphere. *Earth and Planetary Science Letters*, 105, 330-342.
- Fitton, J.G., 1987. The Cameroon Line, West Africa: a comparison between oceanic and continental alkaline volcanism. In: Upadhyay, D. Raith, M.M. Mezger, K. and Hammerschmidt, K., 2006. Mesoproterozoic rift-related alkaline magmatism at Elchuru, Prakasam Alkaline Province, SE India. *Lithos*, 89, 447-477.
- Furman, T., 2007. Geochemistry of East African Rift basalts: An overview. *Journal of African Earth Sciences*, 48, 147-160.
- Furon, R., 1964. Geologie du plateau Iranien. (Iran, Afghanistan- Belouchistan). *Memories du Museum national d'histoire naturelle*. Paris.
- Fürsich, F.T., Wilmsen, M., Seyed-Emami, K. and Majidifard, M.R., 2009. The Mid-Cimmerian tectonic event (Bajocian) in the Alborz Mountains, Northern Iran: evidence of the break-up unconformity of the South Caspian Basin In: *South Caspian to Central Iran Basins*. (ed), Brunet, M. F., Wilmsen, M., Granath, J.W. Geological Society, 312, 189-203.
- Fürsich, F.T., Wilmsen, M., Seyed-Emami, K., Cecca, F. and Majidifard, M.R., 2005. The upper Shemshak Formation (Toarcian-Aalenian) of the Eastern Alborz (Iran): Biota and palaeoenvironments during a transgressive-regressive cycle. *Facies*, 51, 365-384.
- Glaus, M., 1964. Trias und oberperm im Centralen Elburz (Persian). *Eclogae Geologicae Helvetiane*, 2-57.
- Golonka, J., 2004. Plate tectonic evolution of the southern margin of Eurasia in the Mesozoic and Cenozoic. *Tectonophysics*, 381, 235- 273.
- Gourgaud, A. and Vincent, P.M., 2004. Petrology of two continental alkaline intraplate series at Emi Koussi volcano, Tibesti, Chad. *Journal of Volcanology and Geothermal Research*, 129, 261-290.
- Guo, J. and Green, T.H., 2003. Experimental study of barium partitioning between phlogopite and silicate liquid at upper-mantle pressure and temperature. *Lithos*, 24, 83-95.
- Haase, K.M. and Renno, A.D., 2008. Variation of magma generation and mantle sources during continental rifting observed in Cenozoic lavas from the Eger Rift, Central Europe. *Chemical Geology*, 257, 192-202.
- Hoang, N. and Flower, M., 1998. Petrogenesis of Cenozoic basalts from Vietnam: implication for origins of a 'diffuse igneous province'. *Journal of Petrology*, 39, 369-395.
- Hofmann, A.W., Jochum, K.P., Seufert, M. and White,

- W.M., 1986. Nd and Pb in oceanic basalts: new constraints on mantle evolution. *Earth and Planetary Science*, 79: 33-45.
- Johnson, K.T.M., 1994. Experimental cpx/and garnet/melt partitioning of REE and other trace elements at high pressures; petrogenetic implications. *Mineralogical Magazine*, 58, 454-455.
 - Koglin, N., Kostopoulos, D. and Reischmann, T., 2008. Geochemistry, petrogenesis and tectonic setting of the Samothraki mafic suite, NE Greece: Trace-element, isotopic and zircon age constraints. *Tectonophysics*, 473, 53-68.
 - Kürkcüoğlu, K., Furman, T. and Hanan, B., 2008. Geochemistry of post-collisional mafic lavas from the North Anatolian Fault zone, Northwestern Turkey. *Lithos*, 101, 416-434.
 - Kushiro, I., 1996. Partial melting of a fertile mantle peridotite at high pressures: an experimental study using aggregates of diamond. In: Basu, A., Hart, S. (Eds.): *Earth Processes, Reading the Isotopic Code*. American Geophysical Union 95, 109-122.
 - Lustrino, M. and Sharkov, E., 2006. Neogene volcanic activity of western Syria and its relationship with Arabian plate kinematics. *Journal of Geodynamics*, 42, 115-139.
 - Menzies, M., 1987. Alkaline rocks and their inclusions: a window on the Earth's interior. In: Upadhyay, D. Raith, M.M. Mezger, K. and Hammerschmidt, K., 2006. Mesoproterozoic rift-related alkaline magmatism at El-churu, Prakasam Alkaline Province, SE India. *Lithos*, 89, 447/477.
 - Olafsson, M. and Eggler, D.H., 1983. Phase relations of amphibole, amphibole-carbonate and phlogopite-carbonate peridotite: petrologic constraints on the asthenosphere. *Earth and Planetary Science*, 64, 305-315.
 - Peccerillo, R. and Taylor, S.R., 1976. Geochemistry of Eocene calc-alkaline volcanic rocks from the Kastamonu area, northern Turkey. Contribution of Mineralogy and Petrology 58, 63-81.
 - Rudnick, R.L. and Fountain, D.M., 1995. Nature and composition of the continental crust: a lower crustal perspective. *Reviews of Geophysics*, 33, 267-309.
 - Sato, K., Katsura, T. and Ito, E., 1997. Phase relations of natural phlogopite with and without enstatite up to 8 GPa: implications for mantle metasomatism. *Earth and Planetary Science*, 146, 511-526.
 - Seyed-Emami, K., Fursich, F.T., Wilmsen, M., Cecca, F., Majidifard, M.R., Schairer, G. and Shekarifard, A., 2006. Stratigraphy and ammonite of the upper Shemshak Formation (Toarcian-Aalenian) at Tazareh, eastern Alborz, Iran. *Journal of Asian Earth Science*, 28, 259-275.
 - Sun, S.S. and McDonough, W.F., 1989. Chemical and isotopic systematics of oceanic of basalts: implication for mantle composition and processes. In: Saunders, A.D., Norry M.J. (eds): *Magmatism in oceanic basins*. Geological Society of London, 42, 313-345
 - Taheri J., Fursich F.T. and Wilmsen M., 2009. Stratigraphy, depositional environment and geodynamic significance of the Upper Bajocian-Bathonian Kashafrud Formation, NE Iran. *Geological Society of London*, 312, 205-219.
 - Upadhyay, D., Raith, M.M., Mezger, K. and Hammerschmidt, K., 2006. Mesoproterozoic rift-related alkaline magmatism at Elchuru, Prakasam Alkaline Province, SE India. *Lithos*, 89, 447-477.
 - Wallace, M.E. and Green, D.H., 1988. An experimental determination of primary carbonatite composition. *Nature*, 335, 343-345.
 - Wass, S.Y. and Roge, N.W., 1980. Mantle metasomatism- precursor to continental alkaline volcanism. *Journal of Geochemical et Cosmochimica Acta*, 44, 1811-1823.
 - Wilmsen, M., Fürsich, F.T., Seyed-Emami, K., Majidifard, M. and Taheri, J., 2009. The Cimmerian Orogeny in northern Iran: tectono-stratigraphic evidence from the foreland. *Terra Nova*, 21, 211–218.
 - Winchester, J.A. and Floyd, P.A., 1976. Geological magma type discrimination: application to altered and metamorphosed basic igneous rocks. *Earth and Planetary Science*, 28, 459-469.
 - Zanchi, A., Zanchetta, S., Berra, F., Mattei, M., Garzanti, E., Molyneux, S., Nawab, A. and Sabouri, J., 2009. The Eo-Cimmerian (Late? Triassic) orogeny in north Iran. In: South Caspian to Central Iran Basins (M.-F. Brunet, M. Wilmsen and J. Granath, eds). Geological Society of London, 312, 31–55.
 - Zhao, J.H. and Zhou, M.F., 2007. Geochemistry of Neoproterozoic mafic intrusions in the Panzhihua district (Sichuan Province, SW China): Implications for subduction-related metasomatism in the upper mantle. *Precambrian Research*, 152, 27-47.